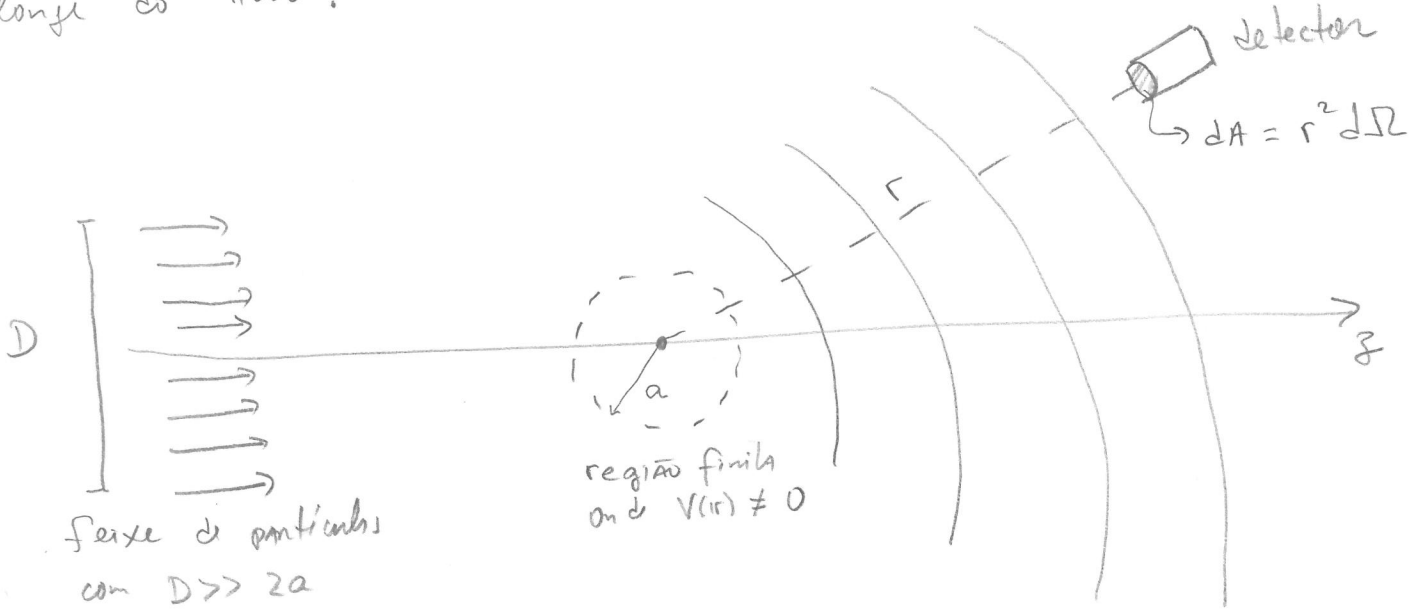


Introdução à Teoria de Espalhamento

Experimentos de espalhamento são realizados basicamente com o objetivo de entender as interações entre partículas (colimadas em um feixe) e o alvo selecionado. A natureza do problema é Assintótica: as partículas são preparadas longe do alvo e são medidas após a interação por detectores também longe do alvo:



Assumiremos que:

- espalhamento é elástico: energia das partículas é conservada
- feixe é rarefeito: partículas do feixe NÃO interagem entre si
- potencial tem alcance finito: $V(r) \approx 0$ se $r > a$
- o tratamento será estatístico, e NÃO baseado em um único evento.
- o caso inelástico pode ser tratado de forma similar

DEFINIÇÃO DA SEÇÃO DE CHOQUE

Temos um feixe de partículas (clássico ou quântico) vindo da esquerda. A intensidade do feixe incidente é

$I_0 \equiv$ número de partículas por unidade de tempo e por unidade de área transversal incidentes. UNIDADE é $T^{-1} L^{-2}$
= fluxo

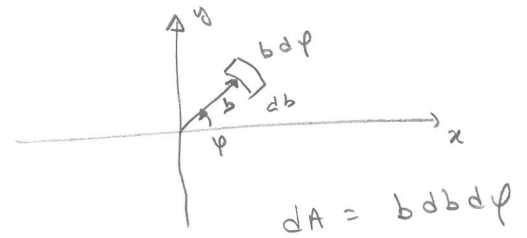
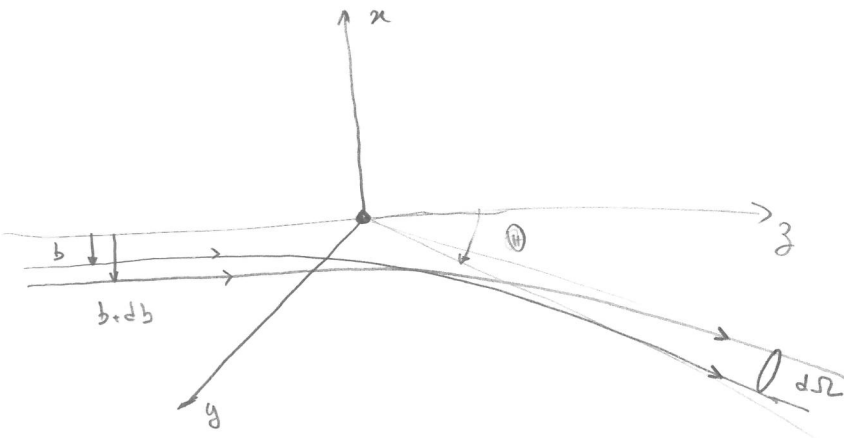
$dn \equiv$ número de partículas por unidade de tempo que atingem o detector com ângulo sólido $d\Omega$. UNIDADE é T^{-1}
Deve ser proporcional a I_0 e a $d\Omega$

$$dn(\theta, \varphi) \equiv \frac{d\sigma(\theta, \varphi)}{d\Omega} I_0 = \frac{d\sigma}{d\Omega} I_0 d\Omega$$

$\frac{d\sigma(\theta, \varphi)}{d\Omega} = \frac{1}{I_0} \frac{dn}{d\Omega} =$ seção de choque diferencial =
= nº de partículas espalhadas por unidade de ângulo sólido / I_0
= "proporção do fluxo incidente que espalha em $d\Omega$ "
UNIDADE é $\frac{1}{T^{-1} L^{-2}} T^{-1} = L^2$

$$\sigma = \int \frac{d\sigma(\theta, \varphi)}{d\Omega} d\Omega = \text{seção de choque total.}$$

REVISÃO DO ESPALHAMENTO CLÁSSICO



b = parâmetro de impacto ; θ = Ângulo de espalhamento

$dN =$ n.º de partículas que passa por $dA = b db d\phi$

$= I_0 * (b db d\phi)$

Como potências centrais a trajetória fica sempre sobre um plano, e $\phi = \varphi$.

$d\Omega = \sin\theta d\theta d\Phi$ $\frac{d\sigma}{d\Omega} = \frac{1}{I_0} \frac{I_0 b db d\phi}{\sin\theta d\theta d\Phi}$ Para

Nesse caso obtemos

$$\frac{d\sigma}{d\Omega} = \left| \frac{b}{\sin\theta} \frac{db}{d\theta} \right|$$

onde o módulo garante que o resultado é positivo.

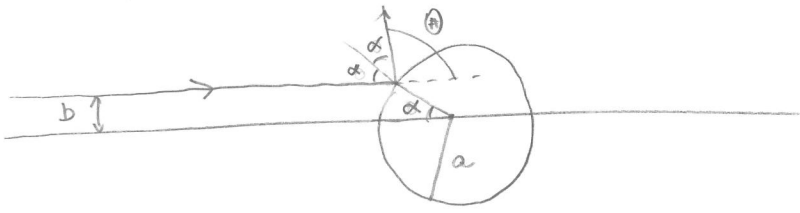
Note que $\theta = \theta(b, \varphi)$, é dado pela solução da equação de movimento. Se $V(r)$ é central, $\theta = \theta(b)$ apenas. Para Coulomb temos (veja Eisberg / Resnick)

$b(\theta) = \frac{D}{2} \cotg\left(\frac{\theta}{2}\right)$;

$D = \frac{zZe^2}{4\pi\epsilon_0 \left(\frac{mv^2}{2}\right)}$

$\frac{d\sigma}{d\Omega}(\theta) = \left(\frac{1}{4\pi\epsilon_0}\right)^2 \left(\frac{zZe^2}{2mv^2}\right)^2 \frac{1}{\sin^4(\theta/2)}$

1) Para o caso de um esfera rígida temos



$$\theta = \pi - 2\alpha$$

$$b = a \sin \alpha = a \sin(\pi/2 - \theta/2) = a \cos \theta/2$$

$$\frac{db}{d\theta} = -\frac{a}{2} \sin \theta/2$$

$$\frac{d\sigma}{d\Omega} = \left| \frac{b}{\sin \theta} \cdot \frac{-a \sin \theta/2}{2} \right| = \frac{a}{2} \cdot \frac{a \cos \theta/2}{\sin \theta} \cdot \sin \theta/2 = \frac{a^2}{4}$$

$$\sigma_{TOT} = \int \frac{d\sigma}{d\Omega} d\Omega = \pi a^2$$

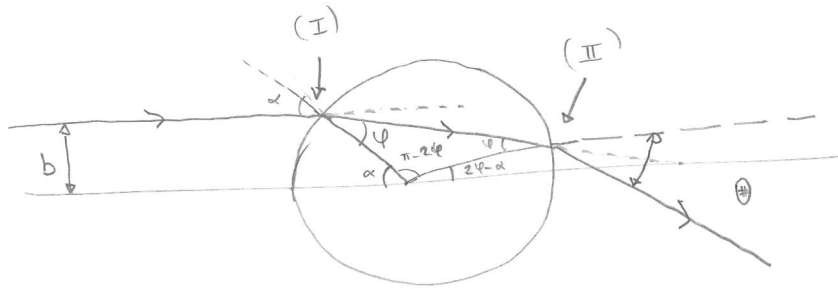
Ess exemplo ilustra o significado da seção de choque total: ela mede a área efetiva, perpendicular ao feixe, que provoca o espalhamento.

Para o caso do potencial de Coulomb σ_{TOT} é infinito, já que o potencial tem alcance infinito, e todos os partículas do feixe são espalhadas.

2) Outro exemplo importante é a "esfera mole" atrativa, definida (3b)

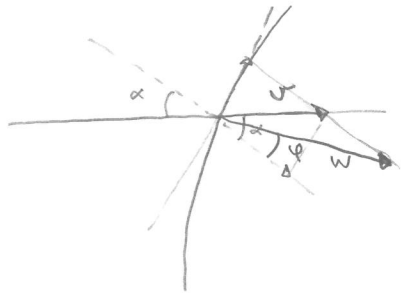
por

$$V(r) = \begin{cases} -V_0 & \text{se } r < a \\ 0 & \text{se } r > a \end{cases}$$



$b = a \sin \alpha$
 precisamos obter
 $b = b(\theta)$

1) 1ª colisão



Decompondo \vec{v} em componentes paralela e perpendicular à superfície da esfera, vemos que, como não existem forças na direção //, $v_{||}$ não deve mudar.

Além disso,

$$E = \frac{mv^2}{2} \quad \text{fora}$$

$$E = \frac{mW^2}{2} - V_0 \quad \text{dentro}$$

$$\Rightarrow W = \sqrt{\frac{2}{m}(E+V_0)} > v$$

Pela figura $v \sin \alpha = W \sin \phi$

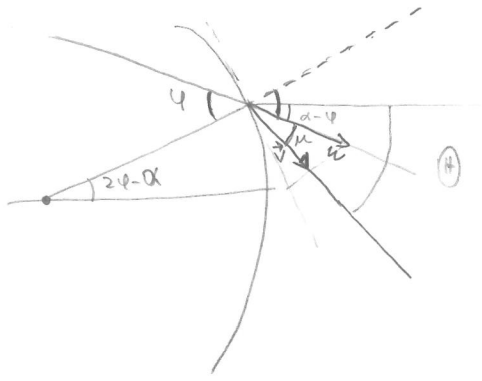
$$\sin \alpha = \sqrt{\frac{E+V_0}{E}} \sin \phi$$

que é uma lei de Snell pt

$$n = \sqrt{\frac{E+V_0}{E}} \gg 1$$

O desvio angular após a primeira colisão é $(\alpha - \phi)$.

(II) 2ª colisão



$$\theta = \alpha - \varphi + \mu$$

Novamente a componente paralela da velocidade se conserva:

$$w \sin \varphi = v \sin (\varphi + \mu)$$

$$\sqrt{\frac{E+V_0}{E}} \sin \varphi = \sin (\varphi + \mu)$$

⇒ comparando com (I) $\varphi + \mu = \alpha$ e o desvio angular é $\mu = \alpha - \varphi$. Assim

$$\theta = (\alpha - \varphi) + (\alpha - \varphi) = 2(\alpha - \varphi)$$

$$\text{e } \alpha = \varphi + \theta/2 :$$

$$b = a \sin \alpha = a \sin (\varphi + \theta/2) = a \sin \varphi \cos \theta/2 + a \sin \theta/2 \cos \varphi$$

$$= a \cos \varphi \left[\sin \theta/2 + \cos \theta/2 \tan \varphi \right]$$

Como

$$n \sin \varphi = \sin \alpha = \sin (\varphi + \theta/2)$$

$$= \sin \varphi \cos \theta/2 + \sin \theta/2 \cos \varphi$$

$$\sin \varphi (n - \cos \theta/2) = \sin \theta/2 \cos \varphi$$

$$\boxed{\tan \varphi = \frac{\sin \theta/2}{n - \cos \theta/2}}$$

Assim,

$$e \quad \cos \varphi = \frac{1}{\sqrt{1 + \tan^2 \varphi}} = \frac{n - \cos \theta/2}{\sqrt{n^2 + 1 - 2n \cos \theta/2}}$$

$$b = a \cos \varphi \left[\sin \frac{\theta}{2} + \frac{\cos \theta/2 \sin \theta/2}{n - \cos \theta/2} \right] = \frac{na \sin \theta/2}{n - \cos \theta/2} \cdot \frac{n - \cos \theta/2}{\sqrt{n^2 + 1 - 2n \cos \theta/2}}$$

$$\boxed{b = \frac{na \sin \theta/2}{\sqrt{n^2 + 1 - 2n \cos \theta/2}}}$$

Note que θ varia de 0, quando $b=0$, até $\theta_c = 2 \text{ARCCOS}(1/n)$ quando $b=a$

$$\frac{db}{d\theta} = \frac{na \cos \theta/2}{2\sqrt{\quad}} - \frac{na \sin \theta/2 (n \sin \theta/2)}{2[\quad]^{3/2}} = \frac{na}{2[\quad]^{3/2}} \left[\cos \frac{\theta}{2} (n^2 + 1 - 2n \cos \frac{\theta}{2}) - n \sin^2 \frac{\theta}{2} \right]$$

$$= \frac{na}{2[\quad]^{3/2}} \left[(n^2 + 1) \cos \frac{\theta}{2} - n - n \cos^2 \frac{\theta}{2} \right]$$

$$= \frac{na}{2[\quad]^{3/2}} (n \cos \frac{\theta}{2} - 1) (n - \cos \frac{\theta}{2})$$

$$\frac{d\sigma(\theta)}{d\Omega} = \frac{b}{2 \sin \frac{\theta}{2} \cos \frac{\theta}{2}} \frac{db}{d\theta} = \frac{na}{[\quad]^{1/2}} \frac{1}{2 \cos \frac{\theta}{2}} \frac{na}{2[\quad]^{3/2}} (n \cos \frac{\theta}{2} - 1) (n - \cos \frac{\theta}{2})$$

$$\frac{d\sigma(\theta)}{d\Omega} = \frac{n^2 a^2 (n \cos \frac{\theta}{2} - 1) (n - \cos \frac{\theta}{2})}{4 \cos \frac{\theta}{2} [n^2 + 1 - 2n \cos \frac{\theta}{2}]^2}$$

A seção de choque total fica

$$\sigma = 2\pi \int_0^{\theta_c} \sigma(\theta) \sin \theta d\theta = \pi \int_0^{\theta_c} \sigma(\theta) \sin \theta n \cos \theta/2 d(\theta/2) ; \frac{\cos(\theta_c/2)}{x} = \frac{1}{n}$$

$$x \equiv \cos \theta/2$$

$$= 2\pi n^2 a^2 \int_{1/n}^1 \frac{(nx-1)(n-x)}{(n^2+1-2nx)^2} dx$$

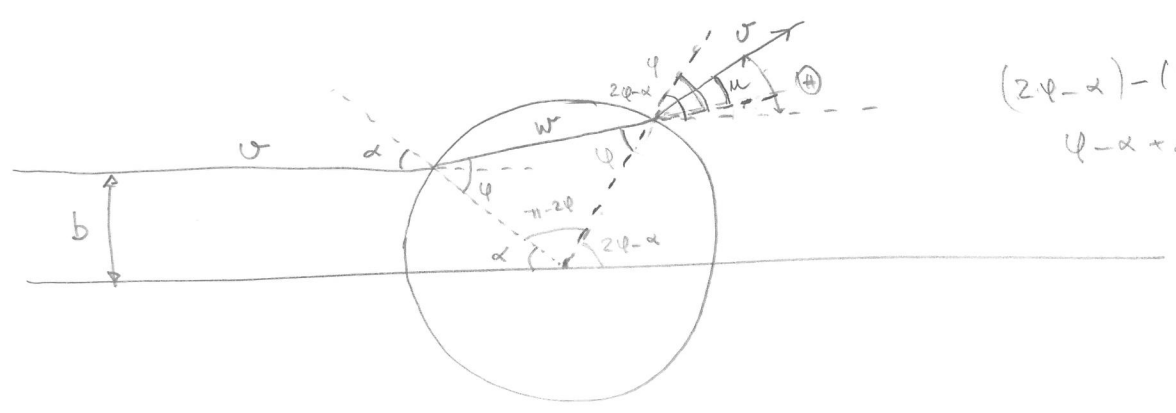
$$y \equiv n^2 + 1 - 2nx ; \quad nx = \frac{n^2 + 1 - y}{2} ; \quad nx - 1 = \frac{n^2 - 1 - y}{2} \quad ; \quad n - x = n - \frac{n^2 + 1 - y}{2n} = \frac{n^2 - 1 + y}{2n}$$

$$\sigma = \frac{2\pi n^2 a^2}{2n} \int_{(n-1)^2}^{n^2-1} \frac{1}{4n} \frac{(n^2-1-y)(n^2-1+y)}{y^2} dy = \frac{\pi a^2}{4} \int_{(n-1)^2}^{n^2-1} \left[\frac{(n^2-1)^2 - y^2}{y^2} \right] dy$$

$$\begin{aligned}
&= \frac{\pi a^2}{4} \left\{ (n^2-1)^2 \left[\frac{1}{(n-1)^2} - \frac{1}{n^2-1} \right] - \left[(n^2-1) - (n-1)^2 \right] \right\} \\
&= \frac{\pi a^2}{4} \left\{ \frac{(2n-2)(n^2-1)^2}{(n-1)^2(n^2-1)} - 2n+2 \right\} = \frac{\pi a^2}{4} 2(n-1) \left[\frac{(n^2-1)}{(n-1)^2} - 1 \right] = \frac{\pi a^2}{4} \cdot \frac{4(n-1)^2}{(n-1)^2} \\
&= \pi a^2
\end{aligned}$$

3) Outro exemplo Ainda é a esfera mole repulsiva:

$$V(r) = \begin{cases} V_0 & \text{se } r \leq a \\ 0 & \text{se } r > a \end{cases}$$



$$(2\psi - \alpha) - (\psi - \mu) = \pi$$

$$\psi - \alpha + \mu = \pi$$

a) 1ª colisão:

Como NÃO existem forças NA direção // à superfície, $U_{||}$ se conserva. Além disso

$$E = \frac{mU^2}{2} = \frac{mW^2}{2} + V_0 \Rightarrow W = \sqrt{\frac{2}{m}(E - V_0)} < U$$

- Se $E > V_0$ ($\frac{mU^2}{2} > V_0 \rightarrow U > \sqrt{\frac{2V_0}{m}} \equiv U_0$)
 A partícula penetra na esfera.

- Se $E < V_0$, $U < U_0$, a partícula é refletida como na esfera rígida.

Assumindo $U > U_0$ e decompondo \vec{U} em $U_{||}$ e U_{\perp} temos:

$$U \sin \alpha = W \sin \psi \rightarrow \boxed{\sin \alpha = \sqrt{\frac{E - V_0}{E}} \sin \psi}$$

que é uma lei de Snell p/ $n = \sqrt{\frac{E - V_0}{E}} < 1$.

O desvio angular depois da 1ª colisão é $(\psi - \alpha)$.

b) 2ª colisión

$$w \sin \varphi = v \sin (\varphi - \alpha)$$

$$\sin (\varphi - \alpha) = \sqrt{\frac{E-v}{E}} \sin \varphi \rightarrow \varphi - \alpha = \alpha \rightarrow \boxed{\alpha = \varphi - \alpha}$$

$$\text{e } \Theta = (\varphi - \alpha) + (\varphi - \alpha) = 2(\varphi - \alpha) \rightarrow \alpha = \varphi - \Theta/2$$

USAMOS LA LEY

$$b = a \sin \alpha = b \sin (\varphi - \Theta/2) = a \sin \varphi \cos \Theta/2 - a \sin \Theta/2 \cos \varphi \\ = a \cos \varphi \left[\cos \varphi \cos \Theta/2 - \sin \Theta/2 \right]$$

ELIMINAMOS φ USANDO

$$n \sin \varphi = \sin \alpha = \sin (\varphi - \Theta/2) \\ = \sin \varphi \cos \Theta/2 - \sin \Theta/2 \cos \varphi$$

$$\sin \varphi (n - \cos \Theta) = - \sin \Theta/2 \cos \varphi$$

$$\boxed{\tan \varphi = \frac{\sin \Theta/2}{\cos \Theta/2 - n}}$$

$$\cos \varphi = \frac{1}{\sqrt{1 + \tan^2 \varphi}} = \frac{\cos \Theta/2 - n}{\left[(\cos \Theta/2 - n)^2 + \sin^2 \Theta/2 \right]^{1/2}} = \frac{\cos \Theta/2 - n}{\sqrt{1 - 2n \cos \Theta/2 + n^2}}$$

$$b = a \cos \varphi \left[\frac{\sin \Theta/2 \cos \Theta/2}{\cos \Theta/2 - n} - \sin \Theta/2 \right] = \frac{a \cos \varphi n \sin \Theta/2}{\cos \Theta/2 - n} = \frac{n a \sin \Theta/2}{\sqrt{n^2 + 1 - 2n \cos \Theta/2}}$$

$$\boxed{b(\Theta) = \frac{n a \sin \Theta/2}{\sqrt{n^2 + 1 - 2n \cos \Theta/2}}}$$

Como no caso da esfera atrativa, podemos calcular

σ_{TOT} . Para isso notamos que $\varphi \rightarrow \pi/2$ para $\sin \alpha = n = b/a < 1$.

Nesse ponto temos uma "reflexão total" de partículas e, pelo
expressão de $b(\theta)$, $w \theta_c/2 = n$. Como $b(\theta)$ é

formalmente igual ao da esfera atrativa, a mesma sequência
de transformações se aplica, com a diferença que a integral em
em a vari de $n \rightarrow 1$, e na variável φ de $(n-1)^2$ a $1-n^2$.
A integral resulta em $n^2 \pi^2 a^2$.

No entanto, isso não é todo! Para $b > na$ ocorre
a reflexão total, e o espalhamento é como na esfera dura, onde

$$\frac{d\sigma(\theta)}{d\Omega} = \frac{a^2}{4} \int_0^{\theta_c} \frac{a^2}{4} \cdot 2\pi \sin \theta d\theta = \frac{\pi a^2}{2} [1 - \cos \theta_c] = \frac{\pi a^2}{2} [2 - 2 \cos \theta_c]$$
$$= \pi a^2 (1 - n^2)$$

Assim:

$$\sigma_{TOT}^T = \pi a^2 n^2 = \text{seção de choque de transmissão}$$
$$\sigma_{TOT}^R = \pi a^2 (1 - n^2) = \text{seção de choque de reflexão}$$

e a soma dá πa^2 . Da mesma forma

$$\frac{d\sigma(\theta)}{d\Omega} = \frac{d\sigma^T(\theta)}{d\Omega} + \frac{d\sigma^R(\theta)}{d\Omega}$$
$$\frac{d\sigma(\theta)}{d\Omega} = \frac{n^2 a^2 (n \cos \theta/2 - 1) (n - \cos \theta/2)}{4 \cos \theta/2 [n^2 + 1 - 2n \cos \theta/2]^2} + \frac{a^2}{4}$$

com $0 \leq \theta \leq \theta_c$

TRATAMENTO QUANTICO

a) - feixe é composto por partículas que incidem a taxa de I part. por unidade de tempo

b) - cada partícula do feixe é representada por um pacote de ondas localizada que em $t=0$, está a esquerda do alvo. O centro do pacote está em $-r_0 \hat{z}$.

Note que (a) não implica em $I_0 = 1$, pois I_0 é partículas incidentes por unidade de área e por unidade de tempo.

(c) - o momento do pacote é mais ou menos bem definido em torno de $k_0 \hat{z}$. A incerteza em k_z , Δk_z é pequena mas não tão pequena: $\Delta z \approx \frac{1}{\Delta k_z}$ deve ser menor que r_0 (o centro do pacote está em $r = -r_0 \hat{z}$) para que ele esteja localizado a esquerda do alvo em $t=0$

○ PACOTE DE ONDAS INICIAL

$$\Psi(r, 0) = \frac{1}{(2\pi)^{3/2}} \int \varphi(k) e^{i(k \cdot (r-r_0))} d^3k \quad ; \quad r_0 = -r_0 \hat{z}$$

$\varphi(k)$ é um função com um pico agudo em $k = (0, 0, k_0) = k_0 \hat{z}$.

Tomemos como exemplo um GAUSSIANA:

$$\varphi(k) = \frac{1}{\pi^{3/4} (\alpha\beta\gamma)^{1/2}} \exp \left\{ -\frac{(k_3 - k_0)^2}{2\alpha^2} - \frac{k_x^2}{2\beta^2} - \frac{k_y^2}{2\gamma^2} \right\}$$

Nesse caso podemos calcular $\Psi(r, 0)$ explicitamente:

$$\Psi(r, 0) = \frac{1}{(2\pi)^{3/2}} \frac{1}{\pi^{3/4} (\alpha\beta\gamma)^{1/2}} \left[\int_{-\infty}^{+\infty} e^{ik_x x - k_x^2 / 2\beta^2} dk_x \right] \left[\int_{-\infty}^{+\infty} e^{iky y - k_y^2 / 2\gamma^2} dk_y \right] \left[\int_{-\infty}^{+\infty} e^{ik_3(z+r_0) - (k_3 - k_0)^2 / 2\alpha^2} dk_3 \right]$$

Usando
$$ik_x x - \frac{k_x^2}{2\beta^2} = -\frac{1}{2\beta^2} \left[k_x - i\beta^2 x \right]^2 - \frac{\beta^2 x^2}{2}$$

$$ik_3(z+r_0) - \frac{(k_3 - k_0)^2}{2\alpha^2} = -\frac{1}{2\alpha^2} \left[k_3 - k_0 - \alpha^2(z+r_0) \right]^2 - \frac{\alpha^2(z+r_0)^2}{2} + ik_0(z+r_0)$$

reduzimos cada integral a $\int e^{-\xi u^2} du = \sqrt{\frac{\pi}{\xi}}$. O resultado final é:

$$\Psi(r, 0) = \frac{\sqrt{\alpha\beta\gamma}}{\pi^{3/4}} \exp \left\{ -\frac{\alpha^2}{2} (z+r_0)^2 - \frac{\beta^2 x^2}{2} - \frac{\gamma^2 y^2}{2} + ik_0(z+r_0) \right\}$$

Exercícios

1) Faça as integrais e mostre seu resultado.

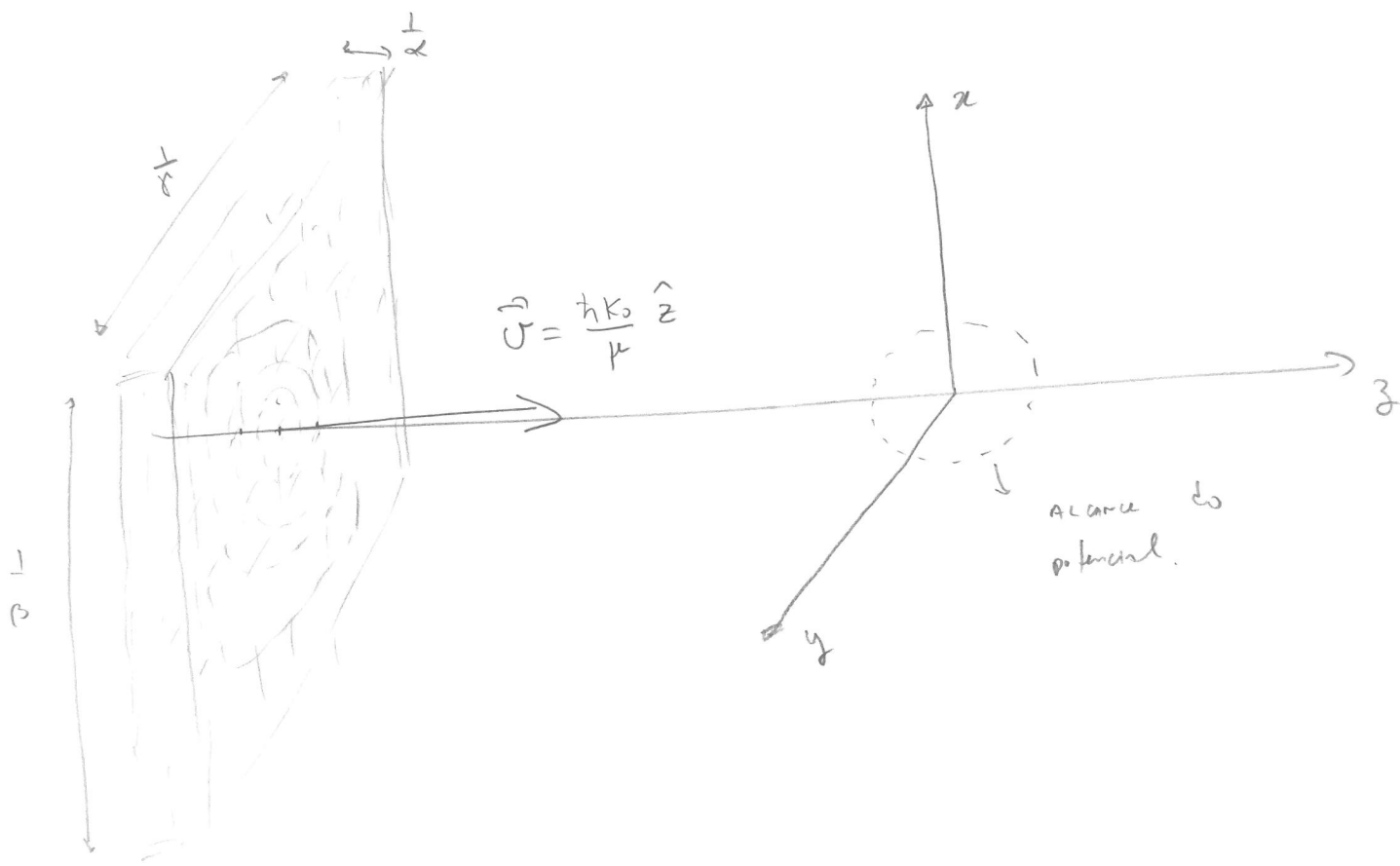
2) mostre que
$$\langle \mathbb{R} \rangle = \int \Psi^* (-i\hbar \nabla) \Psi d^3r = \hbar k_0 \hat{z}$$

3) mostre que
$$\langle \mathbb{R} \rangle = \int \Psi^* r \Psi d^3r = -r_0 \hat{z}$$

A densidade de probabilidade em $t=0$ é

$$|\Psi(r,0)|^2 = \frac{\alpha\beta\gamma}{\pi^{3/2}} \exp\left\{-\alpha^2(z+r_0)^2 - \beta^2x^2 - \gamma^2y^2\right\}$$

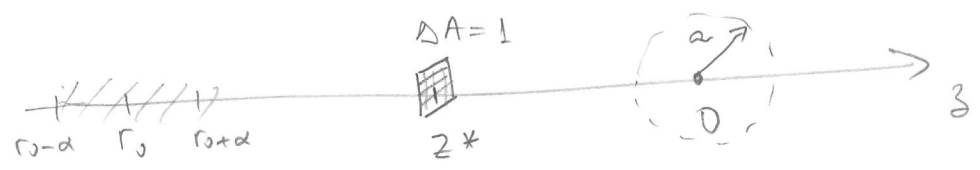
com β e $\gamma \approx 0$, i.e., o pacote é "uma parede" perpendicular ao eixo z com largura $\Delta z = \frac{1}{\alpha}$ e centrado em $z = -r_0$ com $\Delta k_z = \alpha$. Devemos impor $\Delta z \ll r_0$



A densidade de probabilidade inicial NÃO depende de x e y no limite $\beta, \gamma \rightarrow 0$.

A Intensidade I_0 do feixe incidente

Em $t=0$ temos uma gaussiana centrada em $r = (0, 0, -r_0)$ com momento médio $k = (0, 0, k_0)$. O pacote representa 1 partícula, e o feixe é tal que são emitidas 1 partícula por unidade de tempo. Então, $I_0 =$ no de partículas / unidade de área e / unidade de tempo é dada pela proporção do pacote que vai cruzar uma área unitária $\Delta A = 1$ como na figura abaixo:



A probabilidade de partícula cruzar $\Delta A =$ probabilidade de ela estar no tubo π esquerda de ΔA :



$$= \int_{-\infty}^{z^*} dz \int_{-1/2}^{1/2} dx \int_{-1/2}^{1/2} dy |\Psi(r, 0)|^2 \approx \underbrace{\Delta A}_1 \int_{-\infty}^{+\infty} |\Psi(r, 0)|^2 dz = \int_{-\infty}^{+\infty} |\Psi(r, 0)|^2 dz$$

Estamos supondo que $\Psi(r, 0) \approx$ independente de x, y em $t=0$.

Podemos ainda escrever

$$|\Psi(r, 0)|^2 = |\Psi(x, y, z, 0)|^2 \approx |\Psi(0, 0, z, 0)|^2 = |\Psi(z\hat{z}, 0)|^2$$

e

$$I_0 = \int_{-\infty}^{+\infty} |\Psi(z\hat{z}, 0)|^2 dz$$

Exercício: mostre que $I_0 = \beta^2/\pi$ para o pacote Gaussiano.

USAREMOS esse resultado a diante.

ESPALHAMENTO DO PACOTE DE ONDAS : EVOLUÇÃO temporal

Seja
$$H = \frac{p^2}{2\mu} + V = H_0 + V$$

onde $V \neq 0$ dentro de um esfera de raio a . Em $t=0$

temos
$$\Psi(r, 0) = \frac{1}{(2\pi)^{3/2}} \int \varphi(k) e^{i k \cdot (r - r_0)} d^3 k$$
 onde

- $\varphi(k)$ = função centrada em $k_0 = k_0 \hat{z}$

- $r_0 = -r_0 \hat{z}$

- $\Delta z \ll r_0$

Se $H = H_0$, então

$$\Psi(r, t) = \frac{1}{(2\pi)^{3/2}} \int \varphi(k) e^{i k \cdot (r - r_0) - i \omega t} d^3 k$$

$$\omega = \frac{E}{\hbar} = \frac{\hbar k^2}{2\mu}$$

só para recordar, suponho que o movimento dos oceanos na

direção z:

$$\psi(z, 0) = \frac{1}{\sqrt{2\pi}} \int \frac{e^{-\frac{(k_3 - k_0)^2}{2\alpha^2}}}{\pi^{1/4} \sqrt{\alpha}} e^{ik_3(z+r_0)} dk_3 = \frac{\sqrt{\alpha}}{\pi^{1/4}} e^{ip} \left\{ -\frac{\alpha^2}{2} (z+r_0)^2 + ik_0(z+r_0) \right\}$$

$$\psi(z, t) = \frac{1}{\sqrt{2\pi}} \int \frac{e^{-\frac{(k_3 - k_0)^2}{2\alpha^2}}}{\pi^{1/4} \sqrt{\alpha}} e^{ik_3(z+r_0) - \frac{i\hbar k_3^2 t}{2\mu}} dk_3$$

$$= \frac{\sqrt{\Delta z}}{\pi^{1/4}} \frac{1}{\sqrt{(\Delta z)^2 - i\hbar t/\mu}} \exp \left\{ -\frac{\left(z+r_0 + \frac{\hbar k_0 t}{\mu} \right)^2}{2(\Delta z)^2 \left[1 + \frac{2\hbar^2 t^2}{\mu^2 (\Delta z)^4} \right]} + i\varphi \right\}$$

onde $\Delta z = \frac{1}{\alpha}$

Note que o alargamento do pacote é dado pelo

termo

$$\frac{2\hbar^2 t^2 \alpha^4}{\mu^2} \ll 1$$

Podemos desprezar o alargamento se

$$\Delta z(t) = \Delta z(0) \sqrt{1 + \frac{2\hbar^2 t^2 \alpha^4}{\mu^2}} \approx \Delta z(0) + \frac{\hbar^2 t^2 \alpha^4}{\mu^2} \Delta z(0) \approx \Delta z(0)$$

ou

$$\frac{\hbar^2 t^2 \alpha^4}{\mu^2} \ll 1$$

ou ainda

$$\frac{\hbar t \alpha^2}{\mu} \ll 1$$

No espaço há um comprimento $t \approx 2 \times \frac{r_0}{v_0} = \frac{2r_0 \mu}{\hbar k_0}$ e

$$\frac{\hbar t \alpha^2}{\mu} = \frac{2r_0 \alpha^2}{k_0} \ll 1$$

e vamos supor que

Como $H \neq H_0$ temos que encontrar as auto-funções

de H e expandir $\Psi(r, 0)$ na base dessas auto-funções.

Vamos mostrar que :

1) Existem soluções de $H\Psi = E\Psi$, $\Psi_{\mathbf{k}}^+(r)$ t. q.

$$\Psi_{\mathbf{k}}^+(r) \sim \frac{1}{(2\pi)^{3/2}} \left[\begin{array}{c} e^{i\mathbf{k}\cdot\mathbf{r}} \\ \uparrow \\ \text{onda plana} \end{array} + f_{\mathbf{k}}(\hat{r}) \begin{array}{c} \frac{e^{i\mathbf{k}r}}{r} \\ \uparrow \\ \text{onda esférica} \end{array} \right] \text{ p/ } r \rightarrow \infty$$

2) Em termos dessas funções o pacote de ondas incidente, em $t=0$, fica

$$\Psi(r, 0) = \int \varphi(\mathbf{k}) e^{-i\mathbf{k}\cdot\mathbf{r}_0} \Psi_{\mathbf{k}}^+(r) d^3\mathbf{k}$$

e portanto

$$\Psi(r, t) = \int \varphi(\mathbf{k}) e^{-i\mathbf{k}\cdot\mathbf{r}_0} \Psi_{\mathbf{k}}^+(r) e^{-i\omega t} d^3\mathbf{k}$$

com
$$\omega = \frac{E}{\hbar} = \frac{\hbar k^2}{2\mu}$$

Vamos assumir (1) e (2) e mostrar que

$$\frac{d\sigma}{d\Omega} = \frac{dn}{I_0 d\Omega} = |f_{\text{K}_0}(\hat{r})|^2$$

em seguida provamos (1) e (2) e mostramos, ao mesmo tempo, como calcular $f_{\text{K}_0}(\hat{r})$.

Aproximação 1 : o pacote de ondas não alonga muito

no intervalo $t \approx z \cdot \frac{v_0}{v} = \frac{z v_0 \mu}{\hbar K_0}$, i.e.,

$$\frac{\hbar t \Delta K_0^2}{\mu} = \frac{z v_0 \Delta K_0^2}{K_0} \ll 1$$

Assim, $\omega t = \frac{\hbar K^2}{2\mu} t = \frac{\hbar t}{2\mu} (K_0 + (K-K_0))^2$
 $= \frac{\hbar t}{2\mu} [K_0^2 + 2K_0 \cdot (K-K_0) + (K-K_0)^2] \approx \frac{\hbar t}{2\mu} [2K_0 \cdot K - K_0^2]$ *

De finindo $\omega_0 = \frac{\hbar K_0^2}{2\mu}$ $\omega_1 = \frac{\hbar K_1^2}{2\mu}$

e usando a

* Ao integrarmos sobre K estamos supondo que apenas os K próximos de K_0 contribuem. Valores de K tal que $|K-K_0| \gg \Delta K_0 = \alpha$ dão contribuições pequenas. O tempo t é grande mas tal que $\frac{\hbar t (K-K_0)^2}{2\mu} \ll 1$ e/ou os K 's relevantes.

APROXIMAÇÃO 2

só interessa $\Psi(r, t)$ p/ r grande

obtemos

$$\Psi(r, t) \approx \int \frac{\varphi(k)}{(2\pi)^{3/2}} e^{-i k \cdot r_0} \left[e^{i k \cdot r} + f_{1k}(\hat{r}) \frac{e^{i k r}}{r} \right] e^{+i \omega_0 t - i v_0 \cdot k t}$$

$$= e^{i \omega_0 t} \int \frac{\varphi(k)}{(2\pi)^{3/2}} e^{i k \cdot (r - v_0 t - r_0)} d^3 k + e^{i \omega_0 t} \int \frac{\varphi(k)}{(2\pi)^{3/2}} e^{-i k \cdot (r_0 + v_0 t)} f_{1k}(\hat{r}) \frac{e^{i k r}}{r} d^3 k$$

No segundo termo fazemos ainda as seguintes aproximações:

como $\varphi(k)$ é centrado em k_0 , $f_{1k}(\hat{r}) \sim f_{1k_0}(\hat{r})$ e

$k r = (k \cdot \hat{r}) r \sim k \cdot \hat{r}_0 r$ vem que *

$$\Psi(r, t) = e^{i \omega_0 t} \Psi(r - v_0 t, 0) + e^{i \omega_0 t} \frac{f_{1k_0}(\hat{r})}{r} \underbrace{\int \frac{\varphi(k)}{(2\pi)^{3/2}} e^{i k \cdot (r - v_0 t - r_0)} d^3 k}_{\Psi(k_0, (r - v_0 t), 0)}$$

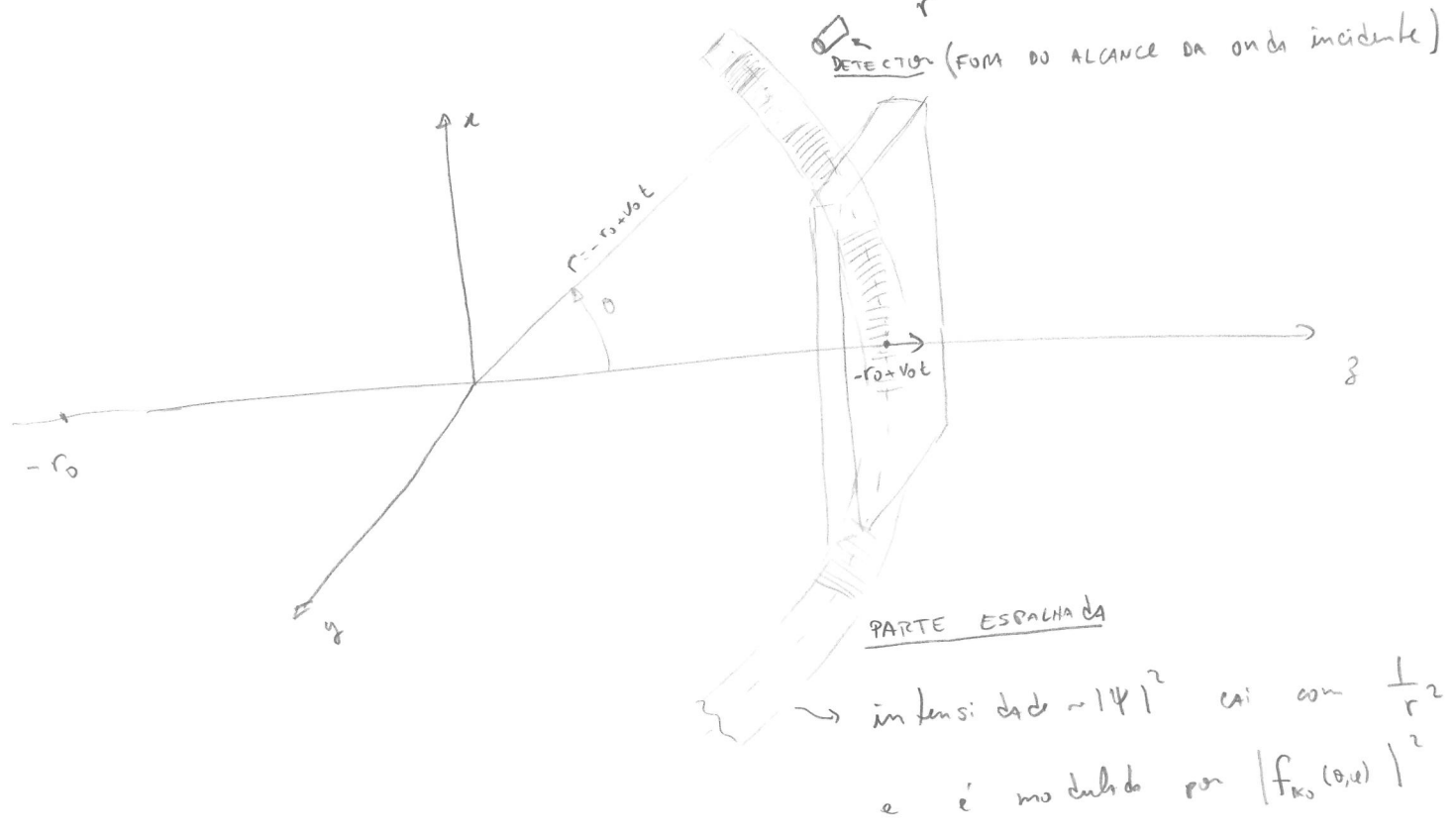
Note que $\varphi(k)$ só é significativa se $|k| \approx k_0$ e se $\hat{k} \approx \hat{k}_0$. Se variarmos k a partir de k_0 em uma direção diferente de \hat{k}_0 , φ vai a zero rapidamente. Veja $\varphi(k)$ na página 5 e note que as larguras β e ρ são $\ll 0$ (veja página 6 também).

PAVOK igual ao inicial centrado em $r = r_0 + v_0 t$, como se não houvesse espalhamento

PAVOK cujo máximo é atingido quando $\hat{r}_0(r - v_0 t) = r_0 = -r_0 \hat{z}$
 $\Rightarrow r = -r_0 + v_0 t$

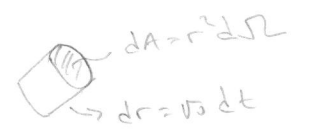
independente da direção de r !
 \Rightarrow ONDA ESFÉRICA. VALE P/ $t > r_0/v_0$

$$\Psi(r, t) = e^{i\omega_0 t} \Psi(r - v_0 t, 0) + e^{i\omega_0 t} \frac{f_{k_0}(\hat{r})}{r} \Psi(\hat{k}_0(r - v_0 t), 0)$$



A probabilidade de observarmos o pacote no detector com ângulo $d\Omega$ entre t e $t + dt$ é:

$$\frac{|f_{k_0}(\hat{r})|^2}{r^2} |\Psi(\hat{z}(r - v_0 t), 0)|^2 * (r^2 dr d\Omega)$$



onde $dr = v_0 dt$

\Rightarrow Probabilidade de observarmos a partícula no detector é:

$$\int_{-\infty}^{+\infty} |f_{k_0}(\hat{r})|^2 |\Psi(\hat{z}(r - v_0 t), 0)|^2 v_0 d\Omega dt = dN$$

pois temos no feixe 1 partícula a unidade de tempo. Assim

$$dn = |f_{\mathbf{k}_s}(\theta, \varphi)|^2 d\Omega \int_{-\infty}^{+\infty} |\Psi(\hat{\mathbf{z}}(r-v_0 t), 0)|^2 v_0 dt$$

$$\xi = r - v_0 t \quad \int_{-\infty}^{+\infty} v_0 dt = - \int_{\infty}^{-\infty} d\xi = \int_{-\infty}^{+\infty} d\xi \quad e$$

$$dn = |f_{\mathbf{k}_s}(\theta, \varphi)|^2 d\Omega \int_{-\infty}^{+\infty} |\Psi(\hat{\mathbf{z}}\xi, 0)|^2 d\xi = |f_{\mathbf{k}_s}(\theta, \varphi)|^2 I_0 d\Omega$$

(veja página 7).

Assim,

$$\frac{d\sigma_{\mathbf{k}_s}(\theta, \varphi)}{d\Omega} = \frac{dn}{I_0 d\Omega} = |f_{\mathbf{k}_s}(\theta, \varphi)|^2$$

DEMONSTRAÇÃO DAS HIPÓTESES DA PÁGINA 10 : FUNÇÕES DE GREEN

A equação que temos que resolver é:

$$\left(\frac{-\hbar^2}{2\mu} \nabla^2 + V \right) \Psi = E \Psi, \quad \text{ou}$$

$$\left(\nabla^2 - \frac{2\mu}{\hbar^2} V + \frac{2\mu E}{\hbar^2} \right) \Psi = 0$$

$$\left(\nabla^2 + K^2 \right) \Psi = U \Psi$$

$$K^2 \equiv \frac{2\mu E}{\hbar^2}$$

$$U \equiv \frac{2\mu V}{\hbar^2}$$

A solução geral dessa equação não-homôgenea pode ser escrita

como:

$$\Psi_{\mathbf{k}}(\mathbf{r}) = \Psi_{\mathbf{k}}^0(\mathbf{r}) - \frac{1}{4\pi} \int G(\mathbf{r}, \mathbf{r}') U(\mathbf{r}') \Psi(\mathbf{r}') d^3r'$$

onde Ψ^0 é solução da equação livre, i.e., $\Psi_{\mathbf{k}}^0(\mathbf{r}) = \frac{1}{(2\pi)^{3/2}} e^{i\mathbf{k} \cdot \mathbf{r}}$,

A função de Green $G(\mathbf{r}, \mathbf{r}')$ é solução de

$$(\nabla^2 + k^2) G = -4\pi \delta(\mathbf{r} - \mathbf{r}')$$

PROVA:

$$\begin{aligned} \nabla^2 \Psi_{\mathbf{k}} &= \nabla^2 \Psi_{\mathbf{k}}^0 - \frac{1}{4\pi} \int \nabla^2 G U(\mathbf{r}') \Psi(\mathbf{r}') d^3r' \\ &= -k^2 \Psi_{\mathbf{k}}^0 - \frac{1}{4\pi} \int (-4\pi \delta(\mathbf{r} - \mathbf{r}') - k^2 G(\mathbf{r}, \mathbf{r}')) U(\mathbf{r}') \Psi(\mathbf{r}') d^3r' \\ &= -k^2 \Psi_{\mathbf{k}}^0 + U(\mathbf{r}) \Psi(\mathbf{r}) - k^2 \underbrace{\left[-\frac{1}{4\pi} \int G(\mathbf{r}, \mathbf{r}') U(\mathbf{r}') \Psi(\mathbf{r}') d^3r' \right]}_{\Psi_{\mathbf{k}}(\mathbf{r}) - \Psi_{\mathbf{k}}^0(\mathbf{r})} \\ &= U(\mathbf{r}) \Psi(\mathbf{r}) - k^2 \Psi_{\mathbf{k}}(\mathbf{r}) \end{aligned}$$

Vamos então calcular G e obter uma equação integral para Ψ :

$$\Psi_{\mathbf{k}}(\mathbf{r}) = \frac{1}{(2\pi)^{3/2}} e^{i\mathbf{k} \cdot \mathbf{r}} - \frac{1}{4\pi} \int G(\mathbf{r}, \mathbf{r}') U(\mathbf{r}') \Psi(\mathbf{r}') d^3r'$$

(note a semelhança formal com Ψ^+ na página 10).

CÁLCULO DE G

(16)

Existem várias soluções possíveis para G, dependendo das condições de contorno impostas sobre ela. Faremos $G(\mathbf{r}, \mathbf{r}') = G(|\mathbf{r} - \mathbf{r}'|)$ e

$$G_{\mathbf{k}}(\mathbf{r}) = \int g(\mathbf{k}') e^{i\mathbf{k}' \cdot \mathbf{r}} d^3\mathbf{k}'$$

$$\delta(\mathbf{r}) = \frac{1}{(2\pi)^3} \int e^{i\mathbf{k}' \cdot \mathbf{r}} d^3\mathbf{k}'$$

Substituindo na equação obtemos (fazemos $\mathbf{r}' = 0$ agora e no final fazemos $\mathbf{r} \rightarrow \mathbf{r} - \mathbf{r}'$):

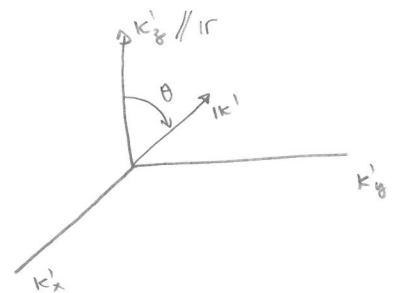
$$\int g(\mathbf{k}') \underbrace{\nabla^2 (e^{i\mathbf{k}' \cdot \mathbf{r}})}_{-k'^2 e^{i\mathbf{k}' \cdot \mathbf{r}}} d^3\mathbf{k}' + k^2 \int g(\mathbf{k}') e^{i\mathbf{k}' \cdot \mathbf{r}} d^3\mathbf{k}' = -\frac{4\pi}{(2\pi)^3} \int e^{i\mathbf{k}' \cdot \mathbf{r}} d^3\mathbf{k}'$$

Assim,

$$g(\mathbf{k}') (k^2 - k'^2) = -\frac{1}{2\pi^2} \rightarrow$$

$$g(\mathbf{k}') = -\frac{1}{2\pi^2} \frac{1}{k^2 - k'^2}$$

$$G_{\mathbf{k}}(\mathbf{r}) = \frac{-1}{2\pi^2} \int \frac{e^{i\mathbf{k}' \cdot \mathbf{r}}}{k^2 - k'^2} d^3\mathbf{k}'$$



Escolhendo \mathbf{k}'_3 paralelo a \mathbf{r} temos

$$\mathbf{k}' \cdot \mathbf{r} = k' r \cos \theta$$

$$d^3\mathbf{k}' = k'^2 dk' \sin \theta d\theta d\varphi$$

Fazendo ainda $u = \cos \theta$, $du = -\sin \theta d\theta$ e

$$\begin{aligned}
 G_k(r) &= -\frac{1}{2\pi^2} * 2\pi \int_{-1}^{+1} du \int_0^{\infty} dk' \frac{e^{ik'r} u}{k^2 - k'^2} k'^2 \\
 &= -\frac{1}{\pi} \int_0^{\infty} dk' \frac{k'^2}{k^2 - k'^2} \frac{1}{ik'r} (e^{ik'r} - e^{-ik'r}) \\
 &= -\frac{1}{i\pi r} \int_0^{\infty} \frac{k' dk'}{k^2 - k'^2} e^{ik'r} + \frac{1}{i\pi r} \int_0^{\infty} \frac{k' dk'}{k^2 - k'^2} e^{-ik'r}
 \end{aligned}$$

Na segunda integral fazemos $k' \rightarrow -k'$ e obtemos $-\frac{1}{i\pi r} \int_{-\infty}^0 \frac{k' e^{+ik'r}}{k^2 - k'^2} dk'$ e

$$G_k(r) = -\frac{1}{i\pi r} \int_{-\infty}^{+\infty} \frac{e^{ik'r} k' dk'}{k^2 - k'^2} \quad \text{ou} \quad \text{ainda}$$

$$G_k(r) = -\frac{1}{\pi r} \frac{d}{dr} \left[\int_{-\infty}^{+\infty} \frac{e^{ik'r}}{k^2 - k'^2} dk' \right]$$

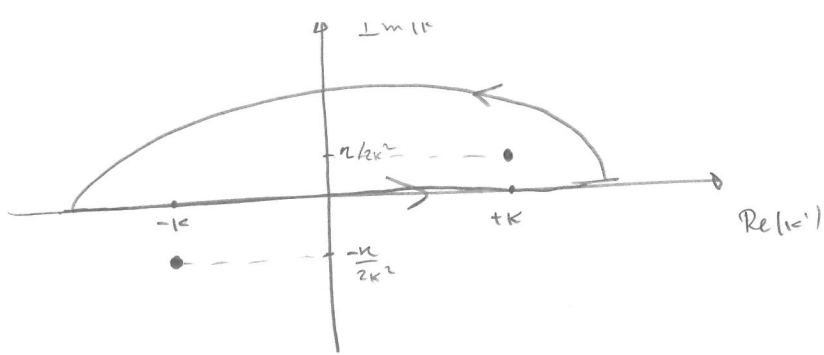
POLOS em $k' = \pm k$

Como o caminho de integração passa pelos polos, temos que definir como iremos incluí-los no cálculo. Definimos então

$$G_k^+(r) = \lim_{\eta \rightarrow 0} -\frac{1}{\pi r} \frac{d}{dr} \int_{-\infty}^{+\infty} \frac{e^{ik'r}}{k'^2 - (k^2 + i\eta)} dk'$$

Os polos agora estão em $k' = \pm \sqrt{k^2 + i\eta} \approx \pm k \left(1 + \frac{i\eta}{2k^2}\right)$

$$= \begin{cases} k + i\eta/2k \\ -k - i\eta/2k \end{cases}$$



Apenas o polo à direita está incluído dentro. Como a integral no circuito superior é nula, pois $\text{Im}(k') > 0$. Como

$$G_{\kappa}^{+}(ir) = -\frac{1}{\pi r} \frac{d}{dr} \left[\oint \frac{e^{ik'r}}{(k'-k)(k'+i\kappa)} dk' \right] = -\frac{1}{\pi r} \frac{d}{dr} \left[2\pi i \frac{e^{ikr}}{2\kappa} \right]$$

$$= -\frac{i}{\kappa r} \frac{d}{dr} (e^{ikr}) = \frac{e^{ikr}}{r}$$

Da mesma forma podemos definir $G_{\kappa}^{-}(ir)$ trocando $\kappa \rightarrow -\kappa$ e o resultado é

$$G_{\kappa}^{\pm}(ir) = \frac{e^{\pm ikr}}{r}$$

$$\Psi_{\kappa}^{\pm}(ir) = \frac{1}{(2\pi)^{3/2}} \left[e^{\pm ikr} - \frac{(2\pi)^{3/2}}{4\pi} \int \frac{e^{\pm i\kappa|r-r'|}}{|r-r'|} U(r') \Psi_{\kappa}^{\pm}(ir') d^3r' \right]$$

O que nos interessa para a teoria de espalhamento é o comportamento de Ψ para r grande. Como r' fica restrito à região $r' < a$, onde $U \neq 0$, podemos expandir

$$|r-r'| = \sqrt{(r-r')^2} = \sqrt{r^2 - 2r \cdot r' + r'^2} = r \sqrt{1 - \frac{2r \cdot r'}{r^2} + \frac{r'^2}{r^2}} \approx r \left(1 - \frac{r \cdot r'}{r^2}\right)$$

$$\approx r - \hat{r} \cdot r'$$

e

$$\Psi_{\mathbf{k}}^{\pm}(r) \approx \frac{1}{(2\pi)^{3/2}} \left[e^{i\mathbf{k} \cdot r} - \frac{(2\pi)^{3/2}}{4\pi} \frac{e^{\pm i\mathbf{k}r}}{r} \int e^{\mp i\mathbf{k} \cdot \hat{r} \cdot r'} U(r') \Psi_{\mathbf{k}}^{\pm}(r') d^3r' \right]$$

onde, identificamos

$$f_{\mathbf{k}}^{\pm}(\hat{r}) = -\frac{(2\pi)^{3/2}}{4\pi} \int e^{\mp i\mathbf{k} \cdot \hat{r} \cdot r'} U(r') \Psi_{\mathbf{k}}^{\pm}(r') d^3r'$$

Note que essa solução para $\Psi_{\mathbf{k}}^{\pm}(r)$ é apenas formal, pois Ψ^{\pm} aparece também na integral. Antes de vermos como esse problema pode ser resolvido, vamos provar nossa segunda hipótese na página 10, isto é, que $\Psi_{\mathbf{k}}(r,0)$ pode ser expresso em termos de $\Psi_{\mathbf{k}}^+(r)$ com os mesmos coeficientes que usamos para ondas planas:

$$\Psi_{\mathbf{k}}(r,0) = \frac{1}{(2\pi)^{3/2}} \int \varphi(\mathbf{k}) e^{-i\mathbf{k} \cdot r_0 + i\mathbf{k} \cdot r} d^3\mathbf{k} = \int \varphi(\mathbf{k}) e^{-i\mathbf{k} \cdot r_0} \Psi_{\mathbf{k}}^+(r) d^3\mathbf{k}$$

Para que isso seja verdade basta mostrar que

$$\int \varphi(\mathbf{k}) e^{-i\mathbf{k} \cdot r_0} \frac{e^{i\mathbf{k}(r-r_0)}}{|r-r'|} U(r') \Psi_{\mathbf{k}}^+(r') d^3r' d^3\mathbf{k} = 0$$

A integral em d^3k e'

$$\int \Psi_{\mathbf{k}} e^{-i\mathbf{k}\cdot\mathbf{r}_s + i\mathbf{k}\cdot|\mathbf{r}-\mathbf{r}'|} \Psi_{\mathbf{k}}^+(\mathbf{r}') d^3k \quad (\Psi_{\mathbf{k}} \text{ e' centrado em } \mathbf{k}_0)$$

$$\approx \Psi_{\mathbf{k}_0}^+(\mathbf{r}') \int \Psi_{\mathbf{k}} e^{-i\mathbf{k}\cdot\mathbf{r}_s + i\mathbf{k}\cdot|\mathbf{r}-\mathbf{r}'|} d^3k \quad ; \quad \mathbf{K} = \mathbf{k} \cdot \hat{\mathbf{k}} \approx \mathbf{k} \cdot \hat{\mathbf{k}}_0$$

$$= \Psi_{\mathbf{k}_0}^+(\mathbf{r}') \int \Psi_{\mathbf{k}} e^{i\mathbf{k}\cdot(\hat{\mathbf{k}}_0|\mathbf{r}-\mathbf{r}'| - \mathbf{r}_s)} d^3k$$

$(2\pi)^{3/2} \Psi_{\mathbf{k}}(\hat{\mathbf{k}}_0|\mathbf{r}-\mathbf{r}'|, 0) =$ função inicial calculada em $\mathbf{r} = (0, 0, |\mathbf{r}-\mathbf{r}'|)$

Como $\Psi_{\mathbf{k}}(\mathbf{r}, 0)$ é zero à direita do alvo, $\Psi_{\mathbf{k}}(\hat{\mathbf{z}}|\mathbf{r}-\mathbf{r}'|, 0) = 0$.

A APROXIMAÇÃO DE BORN

Assumindo que o espalhamento provocado pelo potencial $U(r)$ é "pequeno",
 podemos aproximar a ψ^+ que aparece no integral de $f_{\mathbf{k}}^+(r)$ na pág. 19
 da onda plana:

$$f_{\mathbf{k}}(r) = -\frac{1}{4\pi} \int e^{-i\mathbf{k}\hat{r}\cdot r'} U(r') e^{i\mathbf{k}\cdot r'} d^3r'$$

$$f_{\mathbf{k}}(r) = -\frac{1}{4\pi} \left(\frac{2\mu}{\hbar^2}\right) \int e^{i(\mathbf{k}-\bar{\mathbf{k}})\cdot r'} V(r') d^3r' \quad \text{onde} \quad \boxed{\bar{\mathbf{k}} \equiv \mathbf{k}\hat{r}}$$

transf. de Fourier do potencial.

Para potenciais centrais, $V = V(r)$, podemos escolher o eixo z'
 paralelo a $(\mathbf{k}-\bar{\mathbf{k}})$ e escrever

$$(\mathbf{k}-\bar{\mathbf{k}})\cdot r' = |\mathbf{k}-\bar{\mathbf{k}}| r' \cos\theta' = \beta r' \cos\theta' \quad \boxed{\beta \equiv |\mathbf{k}-\bar{\mathbf{k}}|}$$

$$d^3r' = r'^2 dr' d\varphi' \sin\theta' d\theta'$$

Chamando ainda $u = \cos\theta'$ obtemos

$$f_{\mathbf{k}}(0) = -\frac{1}{4\pi} \frac{2\mu}{\hbar^2} 2\pi \int_{-1}^1 du \int_0^\infty dr' e^{i\beta r' u} V(r') r'^2$$

$$= -\frac{\mu}{\hbar^2} \int_0^\infty r'^2 V(r') \frac{e^{i\beta r'} - e^{-i\beta r'}}{i\beta r'} dr' = -\frac{2\mu}{\beta^2 \hbar^2} \int_0^\infty r' V(r') \sin\beta r' dr'$$

Finalmente, para $k = k_0 = k_0 \hat{z}$

$$\beta^2 = (k_0 - \vec{k})^2 = k_0^2 + k^2 - 2k_0 \cdot \vec{k} = 2k_0^2 - 2k_0^2 \hat{z} \cdot \hat{r}$$

$$= 2k_0^2(1 - \cos\theta) = 4k_0^2 \sin^2 \theta / 2$$

$$\beta = 2k_0 \sin \theta / 2$$

$$f_{k_0}(\theta) = -\frac{\mu}{k_0^2 \sin(\theta/2)} \int_0^\infty r' V(r') \sin \beta r' dr'$$

= Aprox. de Born.

Vemos que a aproximação é boa se k_0 é grande (altas energias)

ou $\max_{r < a} V(r)$ é pequeno.

Exemplos

1) $V(r) = \frac{V_0 e^{-\alpha r}}{\alpha r}$ (Potencial de Yukawa)

$$\int_0^\infty r' V(r') \sin \beta r' dr' = \frac{V_0}{2i\alpha} \int_0^\infty e^{-\alpha r'} (e^{i\beta r'} - e^{-i\beta r'}) dr'$$

$$= \frac{V_0}{2i\alpha} \left[\frac{e^{(-\alpha+i\beta)r'}}{-\alpha+i\beta} \Big|_0^\infty - \frac{e^{(-\alpha-i\beta)r'}}{-\alpha-i\beta} \Big|_0^\infty \right] = \frac{V_0}{2i\alpha} \left[\frac{1}{\alpha-i\beta} - \frac{1}{\alpha+i\beta} \right]$$

$$= \frac{V_0}{2i\alpha} \frac{2i\beta}{\alpha^2 + \beta^2} = \frac{V_0 \beta}{\alpha(\alpha^2 + \beta^2)}$$

SUBSTITUINDO em $f_{k_0}(\theta)$ e usando $\beta = 2k_0 \sin \theta / 2$,

$$f_{k_0}(\theta) = \frac{-\mu}{\alpha k_0 \hbar^2 \sin(\theta/2)} \frac{V_0 2k_0 \sin(\theta/2)}{4k_0^2 \sin^2(\theta/2) + \alpha^2} = -\frac{2V_0 \mu}{\alpha \hbar^2} \frac{1}{4k_0^2 \sin^2(\theta/2) + \alpha^2}$$

2) Potencial Coulombiano.

Tomamos o limite $\alpha \rightarrow 0$ com $\frac{V_0}{\alpha} \rightarrow \frac{q_1 q_2}{4\pi \epsilon_0} \equiv K$

obtemos

$$f_{k_0}(\theta) = -\frac{K \mu}{2\hbar^2 k_0^2} \frac{1}{\sin^2(\theta/2)}$$

$$\frac{d\sigma}{d\Omega} = \frac{\mu^2}{4\hbar^4 k_0^4} \frac{q_1^2 q_2^2}{(4\pi \epsilon_0)^2} \frac{1}{\sin^4(\theta/2)}$$

que coincide com o resultado clássico (veja página 3 com $q_1 = ze$, $q_2 = Ze$, $\hbar k_0 = p_0 = \mu v_0$).

3) Barreira Esférica

$$V(r) = \begin{cases} V_0 & \text{se } r \leq a \\ 0 & \text{se } r > a \end{cases}$$

$$\int_0^a r' V(r') \sin \beta r' dr' = V_0 \int_0^a r' \sin \beta r' dr'$$

$$= -\frac{V_0 r}{\beta} \cos \beta r \Big|_0^a + \frac{V_0}{\beta} \int_0^a \cos \beta r' dr' = -\frac{V_0 a}{\beta} \cos \beta a + \frac{V_0}{\beta^2} \sin \beta a$$

$$f_{k_0}(\theta) = \frac{-\mu}{k_0^2 \hbar^2 \sin^2(\theta/2)} \frac{V_0}{\beta^2} (\sin \beta a - \beta a \cos \beta a)$$

$$= \frac{-\mu V_0}{4 k_0^3 \hbar^2 \sin^3(\theta/2)} (\sin \beta a - \beta a \cos \beta a)$$

A SÉRIE PERTURBATIVA DE BORN

Voltamos agora à equação integral p/ $\psi_{\mathbf{k}}^+(r)$ da página 18.

Chamando $\psi_{\mathbf{k}}^0(r) = \frac{1}{(2\pi)^{3/2}} e^{i\mathbf{k} \cdot \mathbf{r}}$

podemos reescrevê-la como

$$\Psi^+(r) = \Psi^0(r) - \frac{1}{4\pi} \int G(r-r') U(r') \Psi^+(r') d^3r'$$

ou

$$\langle r | \Psi^+ \rangle = \langle r | \Psi^0 \rangle - \frac{1}{4\pi} \int d^3r' \langle r | G | r' \rangle \langle r' | U | \Psi^+ \rangle$$

onde

$G(r-r') \equiv \langle r | G | r' \rangle$. Formalmente temos

$$|\Psi^+\rangle = |\Psi^0\rangle - \frac{1}{4\pi} G U |\Psi^+\rangle \quad \left(\text{veja que } G \text{ N\AA O COMUTA com } U \right)$$

Essa equa\c{c}\~ao pode ser resolvida p/ $|\Psi^+\rangle$:

$$\left(1 + \frac{1}{4\pi} G U \right) |\Psi^+\rangle = |\Psi^0\rangle \rightarrow \boxed{|\Psi^+\rangle = \left(1 + \frac{1}{4\pi} G U \right)^{-1} |\Psi^0\rangle}$$

Usando $\frac{1}{1-x} = \sum_{n=0}^{\infty} x^n$ podemos escrever

$$\begin{aligned} |\Psi^+\rangle &= \sum_{n=0}^{\infty} \left(-\frac{1}{4\pi} \right)^n (G U)^n |\Psi^0\rangle \\ &= |\Psi^0\rangle - \frac{1}{4\pi} G U |\Psi^0\rangle + \left(\frac{1}{4\pi} \right)^2 G U G U |\Psi^0\rangle + \dots \end{aligned}$$

ou

$$\Psi^+(r) = \Psi^0(r) - \frac{1}{4\pi} \int \langle r | G | r' \rangle \langle r' | U | \Psi^0 \rangle d^3r' + \frac{1}{(4\pi)^2} \int \langle r | G | r' \rangle \langle r' | U | G | r'' \rangle \langle r'' | U | \Psi^0 \rangle d^3r' d^3r'' \dots$$

$$= \Psi^0(r) - \frac{1}{4\pi} \int G(r-r') U(r') \Psi^0(r') d^3r'$$

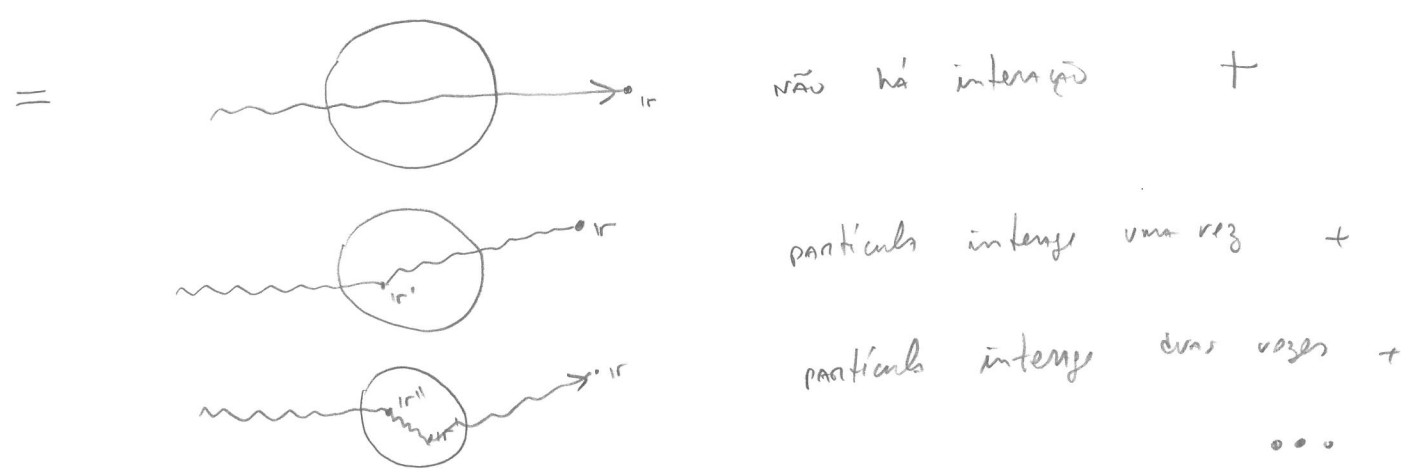
$$+ \frac{1}{(4\pi)^2} \int d^3r' d^3r'' G(r-r') U(r') G(r'-r'') U(r'') \Psi^0(r'') + \dots$$

= [ONDA livre calculada em r] +

[soma de infinitas ondas vindas de cada ponto do espalhador, r' .
 A ONDA incidente $\Psi^0(r')$ adquire amplitude $U(r')$ e é propagada livremente por G até o ponto r] +

[soma de ondas que interagem duas vezes com o potencial: $\Psi^0(r'')$
 ganha amplitude $U(r'')$, propaga até r' , ganha nova amplitude $U(r')$ e propaga até r .]

+ ...



Para potenciais com simetria esférica, a solução da Eq. de Schrödinger é da forma $\Psi_{k\ell m}(r, \theta, \varphi) = \frac{u_{k\ell}(r)}{r} Y_{\ell m}(\theta, \varphi)$.

Podemos então resolver a equação radial para $u(r)$ e escrever Ψ^+ em termos de $\Psi_{k\ell m}$. Teremos dessa forma uma expansão de $f_{\ell}(\theta)$ em "ondas parciais". Como Ψ^+ não depende de φ e $V = V(r)$, essas expansões só vão envolver $Y_{\ell 0}(\theta)$.

Da representação clássica do espalhamento vemos que o momento angular é dado por $L = \mu b v$, onde b é o parâmetro de impacto. Assim, quanto maior L , maior b e menor o espalhamento. Esperamos assim que os primeiros termos na expansão em ℓ contenham a parte principal da seção de choque. Note, por exemplo, que a aproximação de Born não consegue tratar a esfera dura (limite de $V_0 \rightarrow \infty$ no terceiro exemplo na página 23), enquanto que, para baixas energias ($k_0 a \ll 1$) bastará calcular o termo em $\ell=0$.

Como o espalhamento é um problema assintótico, começamos por tratar a partícula livre em coordenadas esféricas.

A PARTÍCULA LIVRE EM COORD. ESFÉRICAS

A partícula livre é um caso particular de potencial central e suas auto-funções podem ser escritas como

$$\Psi_{k,\ell,m}(r,\theta,\varphi) = \frac{u_{k,\ell}(r)}{r} Y_{\ell m}(\theta,\varphi)$$

onde

$$\left[-\frac{\hbar^2}{2\mu} \frac{d^2}{dr^2} + \frac{\hbar^2 \ell(\ell+1)}{2\mu r^2} \right] u = E u \quad , \quad \text{ou}$$

$$\boxed{\frac{d^2 u}{dr^2} + k^2 u - \frac{\ell(\ell+1)}{r^2} u = 0}$$

$$E = \frac{\hbar^2 k^2}{2\mu}$$

Para $\ell=0$ temos a equação de um oscilador harmônico clássico.

As soluções são

$$u_{k,0}(r) = \begin{cases} A \sin kr \\ \text{ou} \\ B \cos kr \end{cases}$$

em combinação linear de ambas. Vamos tomar primeiro o seno.

A normalização, A , é obtida por

$$\int_0^\infty u_{k,0}^*(r) u_{k',0}(r) dr = \delta(k-k')$$
$$= |A|^2 \int_0^\infty \left(\frac{e^{ikr} - e^{-ikr}}{2i} \right) \left(\frac{e^{-ik'r} - e^{ik'r}}{-2i} \right) = \frac{|A|^2}{4} \int_0^\infty \left[\begin{array}{cc} e^{i(k+k')r} & -e^{i(k-k')r} \\ e^{i(k-k')r} & -e^{-i(k+k')r} \end{array} \right] dr$$

$$= \frac{|A|^2}{4} \int_{-\infty}^{+\infty} (e^{i(k+k')r} + e^{i(k-k')r}) dr = \frac{2\pi |A|^2}{4} (-\delta(k+k') + \delta(k-k'))$$

A primeira delta é sempre zero, pois $k, k' > 0$. Assim,

$$|A| = \sqrt{\frac{2}{\pi}}$$

$$u_{k,0}(r) = \sqrt{\frac{2}{\pi}} \sin kr$$

$$R_{k,0}(r) = \sqrt{\frac{2k^2}{\pi}} \frac{\sin kr}{kr} \equiv \sqrt{\frac{2k^2}{\pi}} j_0(kr)$$

↑ FUNÇÃO de Bessel esférica

Pod-se mostrar (veja, por exemplo, Cohen - complemento A VIII ou Dicke - WITTKE, cap. 10.4) que para $l \neq 0$

$$R_{k,l}(r) = \sqrt{\frac{2k^2}{\pi}} j_l(kr) \quad \text{onde}$$

$$j_l(p) = (-1)^l p^l \left(\frac{1}{p} \frac{d}{dp} \right)^l \frac{\sin p}{p}$$

EXEMPLO: $l=1$

$$j_1(p) = -p \left(\frac{1}{p} \frac{d}{dp} \frac{\sin p}{p} \right) = -\frac{\cos p}{p} + \frac{\sin p}{p^2}$$

$$R_{k,1}(r) = -\sqrt{\frac{2k^2}{\pi}} \left[\frac{\cos kr}{kr} - \frac{\sin kr}{(kr)^2} \right]$$

Exercício: mostre que $R_{k,1}$ satisfaz a eq. radial para $l=1$,

$$-\frac{1}{r^2} \frac{d}{dr} \left(r^2 \frac{dR}{dr} \right) + \frac{l(l+1)}{r^2} R = k^2 R$$

Para problemas de espalhamento é importante o comportamento assintótico dessas soluções, $p \rightarrow \infty$; Escrevendo

$$\begin{aligned}
J_\ell(p) &= (-1)^\ell p^\ell \left(\frac{1}{p} \frac{d}{dp}\right)^{\ell-1} \left[\frac{\cos p}{p^2} - \frac{\sin p}{p^3} \right] \\
&\quad \uparrow \text{ termo dominante } p \text{ grande} \\
&\approx (-1)^\ell p^\ell \left(\frac{1}{p} \frac{d}{dp}\right)^{\ell-2} \left[-\frac{\sin p}{p^3} - \frac{3\cos p}{p^4} + \frac{3\sin p}{p^5} \right] \\
&\quad \uparrow \text{ termo dominante} \\
&\quad \vdots \\
&\approx (-1)^\ell p^\ell \frac{1}{p^{\ell+1}} \left[(-1)^\ell \sin(p - \ell\pi/2) \right] = \frac{\sin(p - \ell\pi/2)}{p}
\end{aligned}$$

As funções de Bessel esféricas $J_\ell(p)$ são finitas na origem.

Por exemplo, $j_0(0) = 1$ e $j_\ell(p) \sim \frac{5p}{6}$ $p \rightarrow 0$.

A equação para $u(r)$ na página 28, no entanto, também admite as soluções do tipo $\cos kr$ para $\ell=0$. Normalizando da mesma forma obtemos

$$R_{k0}(r) = -\sqrt{\frac{2k^2}{\pi}} \frac{\cos kr}{kr} \equiv \sqrt{\frac{2k^2}{\pi}} n_0(kr)$$

e, em geral;

$$R_{k\ell}(r) = \sqrt{\frac{2k^2}{\pi}} n_\ell(kr)$$

$$n_\ell(p) = -(-p)^\ell \left(\frac{1}{p} \frac{d}{dp}\right)^\ell \left(\frac{\cos p}{p}\right) = \underline{\text{FUNÇÕES DE NEUMANN ESFÉRICAS}}$$

As funções $\eta_l(p)$ divergem na origem $p=0$ e seu comportamento assintótico é dado por $-\frac{1}{p} \cos(p - l\pi/2)$.

RESUMO DA PARTÍCULA LIVRE

SOLUÇÃO geral da equação radial: $R_{k,l}(r) = \sqrt{\frac{2k^2}{\pi}} [A j_l(kr) + B \eta_l(kr)]$

Funções de Bessel esféricas: $j_l(z) = (-1)^l z^l \left(\frac{1}{z} \frac{d}{dz}\right)^l \frac{\sin z}{z}$

$$\lim_{z \rightarrow \infty} j_l(z) = \frac{1}{z} \sin(z - l\pi/2)$$

$$\lim_{z \rightarrow 0} j_l(z) = z^l$$

Funções de Neumann esféricas: $\eta_l(z) = (-1)^{l+1} z^l \left(\frac{1}{z} \frac{d}{dz}\right)^l \frac{\cos z}{z}$

$$\lim_{z \rightarrow \infty} \eta_l(z) = -\frac{1}{z} \cos(z - l\pi/2)$$

$$\lim_{z \rightarrow 0} \eta_l(z) = z^{-l-2}$$

Antes de voltarmos à teoria de espalhamento, lembramos uma fórmula importante:

$$e^{ikz} = e^{ikr \cos \theta} = \sum_{l=0}^{\infty} i^l \sqrt{4\pi(2l+1)} j_l(kr) Y_{l,0}(\theta)$$

Na região $r > a$, onde $V(r) = 0$, a solução da equação

radial é

$$R_{k,l}(r) = A_2 j_l(kr) + B_2 n_l(kr) \quad ; \quad |A_2|^2 + |B_2|^2 = 1$$

(vamos omitir o pré-fator $\sqrt{2k^2/\pi}$). Como r é grande,

$$R_{k,l}(r) \sim \frac{A_2 \sin(kr - l\pi/2)}{kr} - \frac{B_2 \cos(kr - l\pi/2)}{kr}$$

Definindo

$$\boxed{\tan \delta_l = -B_2 / A_2}$$

re-escrevemos

$$R_{k,l}(r) \sim \frac{A_2 / \cos \delta_l}{kr} \left[\sin(kr - l\pi/2) \cos \delta_l + \sin \delta_l \cos(kr - l\pi/2) \right]$$

$$\boxed{R_{k,l}(r) \sim \frac{\sin(kr - l\pi/2 + \delta_l)}{kr}}$$

pois $\frac{A_2^2}{\cos^2 \delta_l} = A_2^2 (1 + \tan^2 \delta_l) = A_2^2 + B_2^2 = 1$

Se $V(r) = 0$, $\delta_l = 0$ pois a solução deve ser regular na origem. Assim, os phase-shifts δ_l medem a ação do potencial, e podem ser relacionados com $f_k(\theta)$. Para isso vamos expandir $\psi_k^+(r, \theta)$ na base de funções esféricas e comparar essa expansão com a forma da função radial acima:

Para r grande temos:

$$\Psi_K^+(r, \theta) \sim \frac{1}{(2\pi)^{3/2}} \left[e^{ikr \cos \theta} + f_K(\theta) \frac{e^{ikr}}{r} \right] \approx \sum_l A_l(k) Y_{l,0}(\theta) \frac{\sin(kr - l\pi/2 + \delta_l)}{kr}$$

onde os A_l devem ser determinados. Usando a fórmula da página 31 para r grande temos:

$$\frac{1}{(2\pi)^{3/2}} \left[\sum_{l=0}^{\infty} i^l \sqrt{4\pi(2l+1)} \frac{\sin(kr - l\pi/2)}{kr} Y_{l,0}(\theta) + f_K(\theta) \frac{e^{ikr}}{r} \right] = \sum_l A_l Y_{l,0}(\theta) \frac{\sin(kr - l\pi/2 + \delta_l)}{kr}$$

Escrevendo os senos em termos de exponenciais e igualando os termos

$$\sim \left[e^{-ikr + i l \pi/2} Y_{l,0}(\theta) \right] / (2i kr) \text{ obtemos}$$

$$\frac{1}{(2\pi)^{3/2}} i^l \sqrt{4\pi(2l+1)} = A_l e^{-i\delta_l} \rightarrow \boxed{A_l = \frac{i^l \sqrt{4\pi(2l+1)}}{(2\pi)^{3/2}} e^{i\delta_l}}$$

Iguando agora os termos em e^{ikr} obtemos

$$\frac{1}{(2\pi)^{3/2}} \left[\sum_{l=0}^{\infty} i^l \sqrt{4\pi(2l+1)} \frac{e^{-il\pi/2}}{2i kr} Y_{l,0}(\theta) + \frac{f_K(\theta)}{r} \right] = \sum_l A_l Y_{l,0} \frac{e^{-il\pi/2 + i\delta_l}}{2i kr}$$

$$f_K(\theta) = \frac{1}{K} \sum_l (i)^l \sqrt{4\pi(2l+1)} Y_{l,0}(\theta) e^{-il\pi/2} \left(\frac{2i\delta_l}{e^{-i\pi/2} - 1} \right) \text{ Usando } e^{-i\pi/2} = (-i)^l$$

$$\boxed{f_K(\theta) = \frac{1}{K} \sum_{l=0}^{\infty} \sqrt{4\pi(2l+1)} Y_{l,0}(\theta) e^{i\delta_l} \sin \delta_l}$$

Essa última expressão é a análise em ondas parciais de $f_k(\theta)$. Cada termo é a contribuição de um valor bem definido de momento angular, como se, ao invés de ondas planas incidente, um onda incidente com aquele l atingisse o alvo.

Classicamente o parâmetro de impacto é dado por $b = \frac{L}{p}$.
 Escrevendo $L \sim \hbar l$, $p = \hbar k$, $b = l/k$. Para uma energia fixa, quanto maior l maior b e menor o espalhamento.
 Fazendo $b = a$ (o alcance do potencial) vemos que as contribuições principais ocorrem para $l \leq ka$. Se $ka \gg 1$ apenas $l=0$ (a ONDA ESFÉRICA) contribui.

A seção de choque total pode ser obtida:

$$\sigma_{TOT} = \int \frac{d\sigma}{d\Omega} d\Omega = \int |f_k(\theta)|^2 d\Omega = \frac{4\pi}{k^2} \sum_{l, l'} \sqrt{(2l+1)(2l'+1)} e^{i(\delta_l - \delta_{l'})} \sin \delta_l \sin \delta_{l'}$$

$$* \int Y_{l,0}(\theta) Y_{l',0}^*(\theta) d\Omega$$

$\underbrace{\hspace{10em}}_{\delta_{l,l'}}$

$$\sigma_{TOT} = \frac{4\pi}{k^2} \sum_{l=0}^{\infty} (2l+1) \sin^2 \delta_l$$

Exemplo 1 - Esferas rígidas

$$V(r) = \begin{cases} \infty & \text{si } r < a \\ 0 & \text{si } r \geq a \end{cases}$$

Para $r > a$ $R_e(r) = A_e j_e(kr) + B_e n_e(kr) \equiv A_e [j_e(kr) - \text{tg } \delta_e n_e(kr)]$

como $R_e(a) = 0$, $\text{tg } \delta_e = \frac{j_e(ka)}{n_e(ka)}$

Escrevendo a tangente explicitamente obtemos

$$\frac{e^{i\delta_e} - e^{-i\delta_e}}{e^{i\delta_e} + e^{-i\delta_e}} = \frac{i j_e(ka)}{n_e(ka)} \quad ; \quad x \equiv e^{i\delta_e}$$

$$\frac{x^2 - 1}{x^2 + 1} = \frac{i j_e(ka)}{n_e(ka)} \rightarrow x^2 \left(1 - \frac{i j_e}{n_e}\right) = 1 + \frac{i j_e}{n_e} \quad e$$

$$x^2 = \frac{n_e(ka) + i j_e(ka)}{n_e(ka) - i j_e(ka)} = - \frac{h_e^*(ka)}{h_e(ka)}$$

onde $h_e(z) = j_e(z) + i n_e(z)$ SÃO as funções de Hankel.

Assim,

$$\delta_e = \frac{1}{2i} \ln \left(- \frac{h_e^*(ka)}{h_e(ka)} \right)$$

Para $l=0$

$$h_0(p) = \frac{\sin p}{p} - i \frac{\cos p}{p} = \frac{-i}{p} e^{ip}$$

$$-\frac{h_0^*}{h_0} = -\frac{ie^{-ip}/l}{-ie^{ip}/l} = e^{-2ip} \Rightarrow \boxed{\delta_0 = ka}$$

Para $l=1$

$$h_1(p) = \left[-\frac{\cos p}{p} + \frac{\sin p}{p^2} \right] + i \left[-\frac{\sin p}{p} - \frac{\cos p}{p^2} \right]$$

$$= -\frac{1}{p} e^{ip} - \frac{i}{p^2} e^{ip} = -\frac{ie^{ip}}{p^2} (1-ip)$$

Escrevendo $1-ip = \sqrt{1+p^2} e^{-i\varphi}$; $\tan \varphi = p$,

$$h_1(p) = \frac{-i\sqrt{1+p^2}}{p^2} e^{i(p-\varphi)}$$

$$e^{2i\delta_1} = -\frac{h_1^*}{h_1} = -\frac{(+ie^{-ip+i\varphi})}{(-ie^{ip-i\varphi})} = e^{-2ip+2i\varphi}$$

$$\delta_1 = -ka + \varphi = -ka + \text{Arctg}(ka)$$

Exemplo 2 - Poço de Potencial

(35)

$$V(r) = \begin{cases} -V_0 & \text{si } r < a \\ 0 & \text{si } r \geq a \end{cases}$$

Nesse caso as soluções radiais são:

(a) Para $r < a$ $-\frac{\hbar^2}{2\mu} \frac{d^2 u_e}{dr^2} + \left(-V_0 + \frac{\hbar^2 l(l+1)}{2\mu r^2}\right) u_e = E u_e$ ou

$$-\frac{\hbar^2}{2\mu} \frac{d^2 u_e}{dr^2} + \frac{\hbar^2 l(l+1)}{2\mu r^2} u_e = \frac{\hbar^2 k_i^2}{2\mu} \quad \text{onde } \boxed{k_i \equiv \sqrt{2\mu(E+V_0)} / \hbar}$$

(b) Para $r > a$ $-\frac{\hbar^2}{2\mu} \frac{d^2 u_e}{dr^2} + \frac{\hbar^2 l(l+1)}{2\mu r^2} u_e = \frac{\hbar^2 k^2}{2\mu}$ onde $\boxed{k \equiv \sqrt{2\mu E} / \hbar}$

e

$$R_{kl}(r) = \begin{cases} C_e j_l(k_i r) & \text{si } r < a \\ A_e j_l(kr) + B_e n_l(kr) & \text{si } r > a ; B_e \equiv -A_e \tan \delta_e \end{cases}$$

Impondo continuidade de $\psi(r, \theta) = \sum_e A_e R_{kl}(r) Y_{el}(\theta)$ e de sua derivada em $r=a$ pl todo θ é o mesmo que impor continuidade de $R_{kl}(r)$ e sua derivada:

$$\begin{aligned} C_e j_l(k_i a) &= A_e j_l(ka) + B_e n_l(ka) \\ k_i C_e j_l'(k_i a) &= k [A_e j_l'(ka) + B_e n_l'(ka)] \end{aligned}$$

$$\Rightarrow \frac{k_i j_l'(k_i a) [A_e j_l + B_e n_l]}{j_l(k_i a)} = k A_e j_l'(ka) + k B_e n_l'(ka)$$

Para $l=0$ podemos escrever diretamente

$$R_{ke}(r) = \cos \delta_e j_0(kr) - \sin \delta_e n_0(kr) \quad \text{com} \quad \begin{aligned} A_e &\equiv \cos \delta_e \\ B_e &= -\sin \delta_e \end{aligned}$$

$$j_0(kr) = \frac{\sin(kr)}{kr}$$

$$n_0(kr) = -\frac{\cos(kr)}{kr}$$

$$R_{k_0}(r) = \frac{\sin(kr + \delta_0)}{kr} \quad \text{e as condições de continuidade de fronteira}$$

$$1) \quad C_0 \frac{\sin(k_1 a)}{k_1 a} = \frac{\sin(k_2 + \delta_0)}{k_2 a}$$

$$2) \quad C_0 \left[\frac{\cos k_1 a}{a} - \frac{\sin(k_1 a)}{k_1 a^2} \right] = \frac{\cos(k_2 + \delta_0)}{a} - \frac{\sin(k_2 + \delta_0)}{k_2 a^2}$$

pela 1ª Equação

$$\frac{1}{k_1} \tan k_1 a = \frac{1}{k} \tan(k_2 + \delta_0)$$

$$\delta_0 = -k_2 a + \psi \quad \text{onde}$$

$$\tan \psi = \frac{k}{k_1} \tan k_2 a$$

Determinação dos Phase-Shifts PARA Potenciais Centrais

Vamos ASSUMIR potenciais esféricos $V = V(r)$ com $V(r) = 0$ se $r \gg a$.

Mostraremos que os δ_e 's podem ser obtidos se conhecermos o valor de

$$\beta_e \equiv \left(\frac{a}{R_e} \frac{dR_e}{dr} \right)_{r=a}$$

PARA $r \gg a$ podemos escrever

$$R_e(r) = A_e j_e(kr) + B_e n_e(kr) \quad ; \quad B_e = -A_e \tan \delta_e$$

$$\beta_e = ak \frac{A_e j_e'(ka) + B_e n_e'(ka)}{A_e j_e(ka) + B_e n_e(ka)}$$

$$= ak \frac{\cos \delta_e j_e'(ka) - \sin \delta_e n_e'(ka)}{\cos \delta_e j_e(ka) - \sin \delta_e n_e(ka)}$$

escrevendo $\cos \delta_e = \frac{1}{2} (e^{i\delta_e} + e^{-i\delta_e})$; $\sin \frac{1}{2i} (e^{i\delta_e} - e^{-i\delta_e})$

$$h_e = j_e + i n_e$$

$$h_e^* = j_e - i n_e$$

$$\frac{\beta_e}{ak} \left[e^{i\delta_e} h_e + e^{-i\delta_e} h_e^* \right] = e^{i\delta_e} h_e + e^{-i\delta_e} h_e^* \quad \text{ou}$$

multiplicando tudo por $ak e^{i\delta_e}$,

$$e^{z_1 s_e} [\beta_e h_e - a_k h_e'] = a_k h_e^* - \beta_e h_e^*$$

$$e^{z_1 s} = \frac{-h_e^* \left(\beta_e - a_k \frac{h_e'}{h_e^*} \right)}{h_e \left(\beta_e - a_k \frac{h_e'}{h_e} \right)}$$

FINALMENTE notamos que z^*/z tem módulo 1 e definimos:

(a)
$$-\frac{h_e^*}{h_e} \equiv e^{z_1 \bar{z}_e}$$

(b)
$$k_a \frac{h_e'}{h_e} \equiv \Delta_e + i S_e \quad \text{cl } \Delta_e \text{ e } S_e \text{ reais}$$

veja que
$$k_a \frac{h_e'}{h_e} = k_a \frac{(j'+in')}{j+in} = \frac{k_a}{j^2+n^2} (j'+in')(j-in)$$

$$\Rightarrow \Delta_e = \frac{k_a}{j_e^2+n_e^2} (j_e j_e' + n_e n_e')$$

$$S_e = \frac{k_a}{j_e^2+n_e^2} (n_e j_e - j_e' n_e)$$

Assim,

$$e^{z_1 s_e} = e^{z_1 \bar{z}_e} \left[\frac{\beta_e - \Delta_e + i S_e}{\beta_e - \Delta_e - i S_e} \right]$$

Para um esfera rígida, $R(a) = 0$ e $\beta_e \rightarrow \infty$. Nesse caso $S_e = \Sigma_e$, como havíamos obtido diretamente no par. (34a).

Vejamos que o momento angular da partícula é $\mu b v_0 = b h k_0 \approx l h \rightarrow \boxed{l \approx b k_0}$

Para $b = a$ temos o valor máximo $l_{max} = a k_0$, e só precisamos calcular S_e de $l = 0$ a l_{max} . Se $k_0 a \ll 1$, só $l = 0$ contribui de forma significativa.